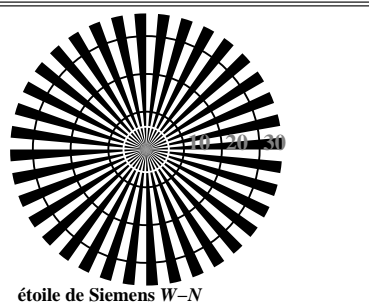
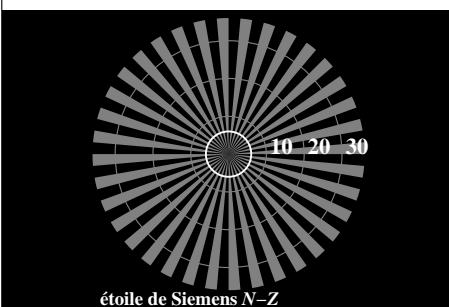


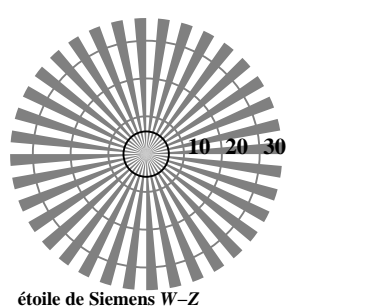
étoile de Siemens N-W



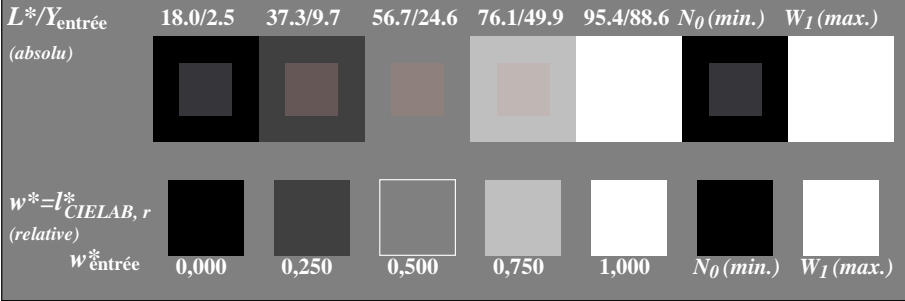
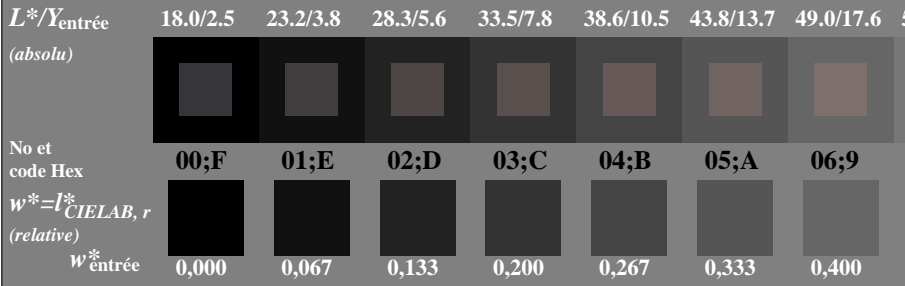
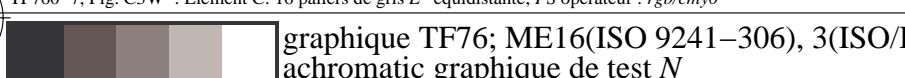
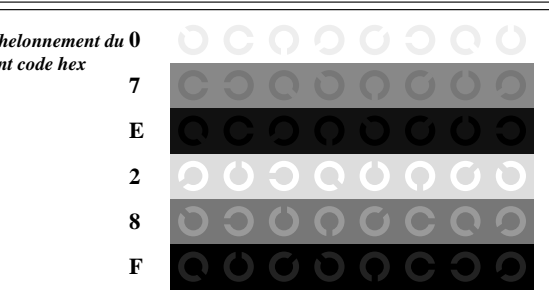
étoile de Siemens W-N



étoile de Siemens N-Z



étoile de Siemens W-Z

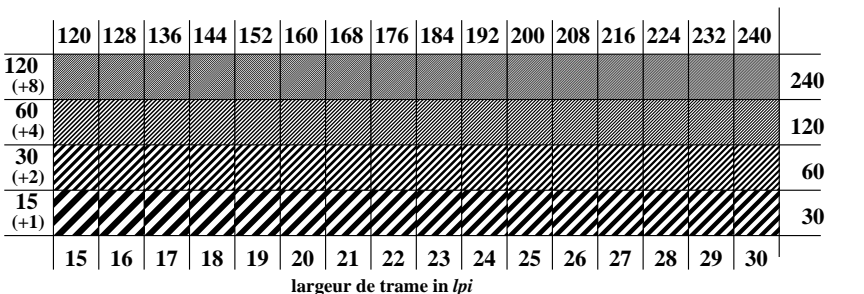
TF760-3, Fig. C1W-: Élément A: étoile de Siemens N-W, W-N, N-Z et W-Z; PS opérateur : *rgb/cmy0*TF760-5, Fig. C2W-: Élément B: 5 paliers de gris  $L^*$  équidistante +  $N_0 + W_I$ ; PS opérateur : *rgb/cmy0*TF760-7, Fig. C3W-: Élément C: 16 paliers de gris  $L^*$  équidistante; PS opérateur : *rgb/cmy0*graphique TF76; ME16(ISO 9241-306), 3(ISO/IEC 15775)  
achromatic graphique de test N

échelonnement du 0 font code hex

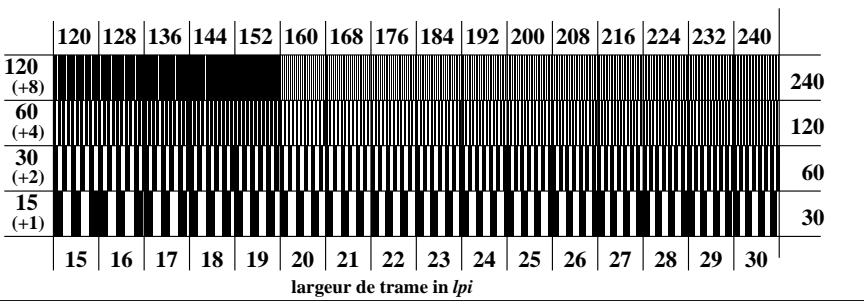
1	échelonnement 0-1 anneau de Landolt	0-1
8		7-8
E		E-F
2		0-2
8		6-8
F		F-D

anneaux Landolt W-N

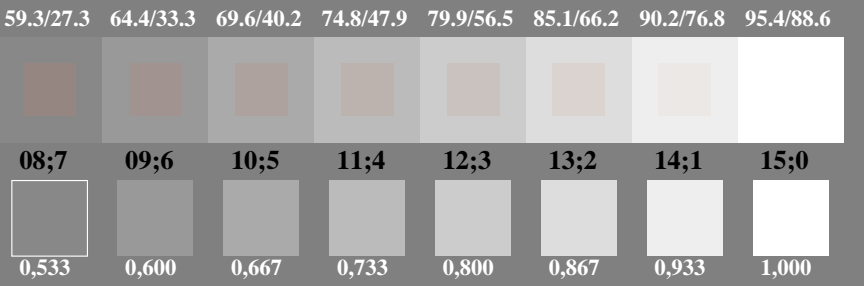
code: fond anneaux

TF761-1, Fig. C4W-: Élément D: anneaux Landolt W-N; PS opérateur : *rgb/cmy0*

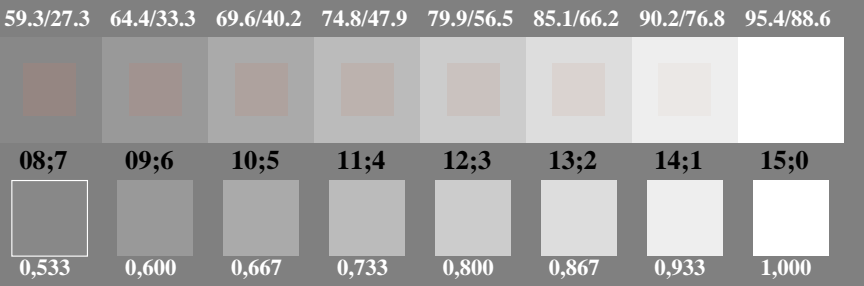
largeur de trame in lpi

TF761-3, Fig. C5W-: Élément E: trame linéaire à 45° (ou 135°); PS opérateur : *rgb/cmy0*

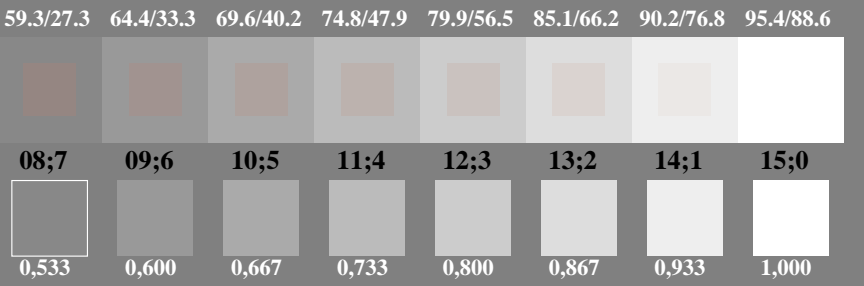
largeur de trame in lpi

TF761-5, Fig. C6W-: Élément F: trame linéaire à 90° (ou 0°); PS opérateur : *rgb/cmy0*

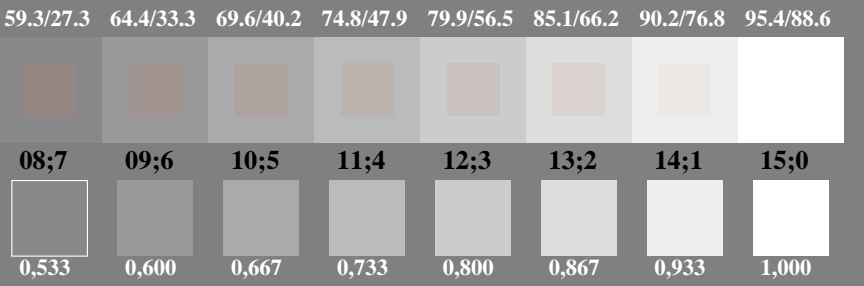
largeur de trame in lpi

TF761-7, Fig. C7W-: Élément G: 16 paliers de gris  $L^*$  équidistante; PS opérateur : *rgb/cmy0*

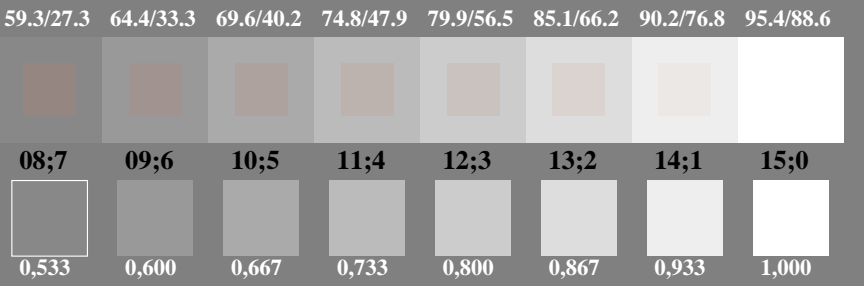
largeur de trame in lpi

TF761-7, Fig. C8W-: Élément H: 16 paliers de gris  $L^*$  équidistante; PS opérateur : *rgb/cmy0*

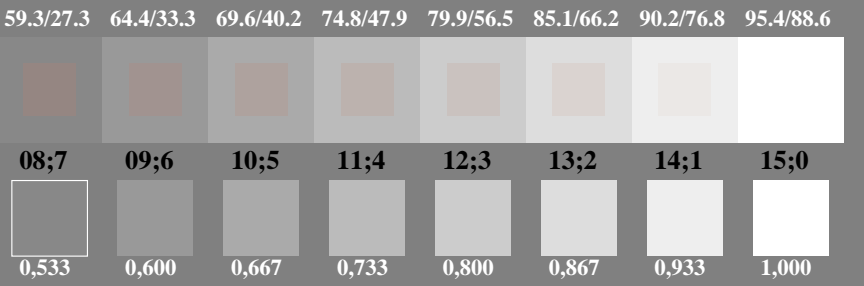
largeur de trame in lpi

TF761-7, Fig. C9W-: Élément I: 16 paliers de gris  $L^*$  équidistante; PS opérateur : *rgb/cmy0*

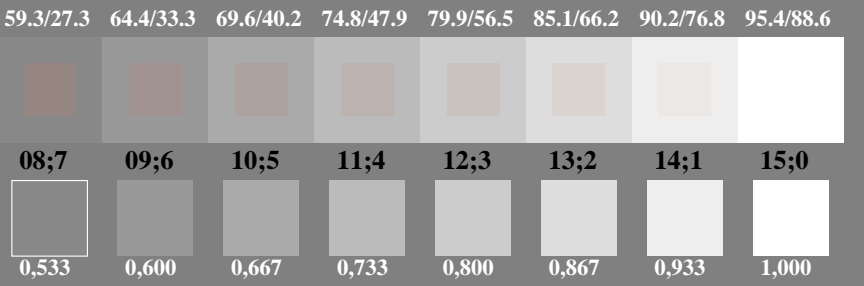
largeur de trame in lpi

TF761-7, Fig. C10W-: Élément J: 16 paliers de gris  $L^*$  équidistante; PS opérateur : *rgb/cmy0*

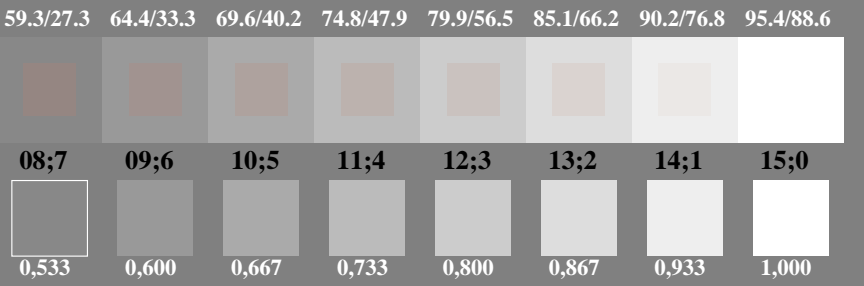
largeur de trame in lpi

TF761-7, Fig. C11W-: Élément K: 16 paliers de gris  $L^*$  équidistante; PS opérateur : *rgb/cmy0*

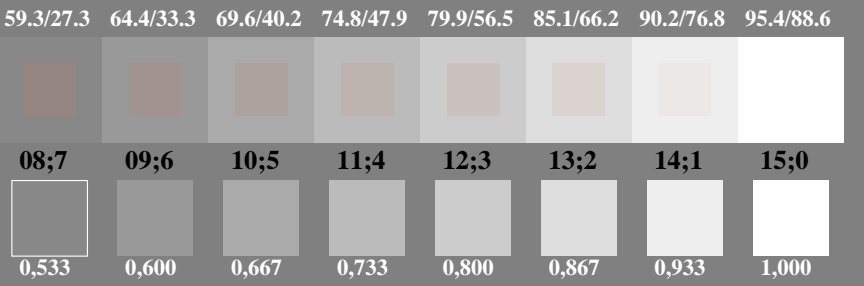
largeur de trame in lpi

TF761-7, Fig. C12W-: Élément L: 16 paliers de gris  $L^*$  équidistante; PS opérateur : *rgb/cmy0*

largeur de trame in lpi

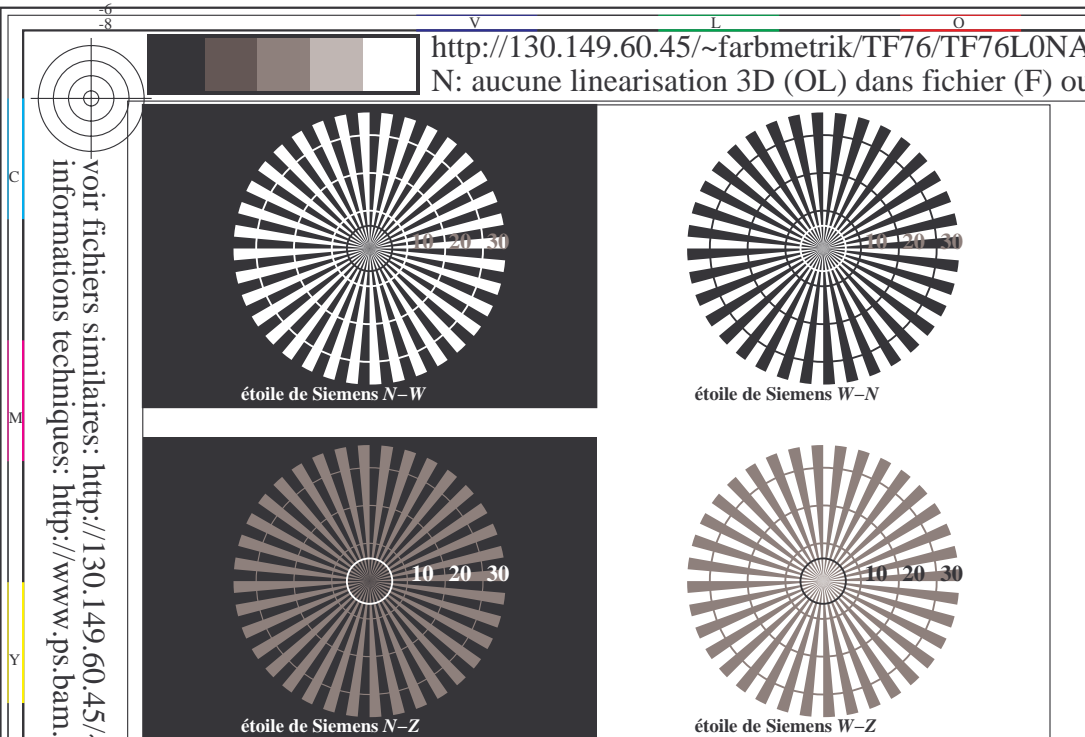
TF761-7, Fig. C13W-: Élément M: 16 paliers de gris  $L^*$  équidistante; PS opérateur : *rgb/cmy0*

largeur de trame in lpi

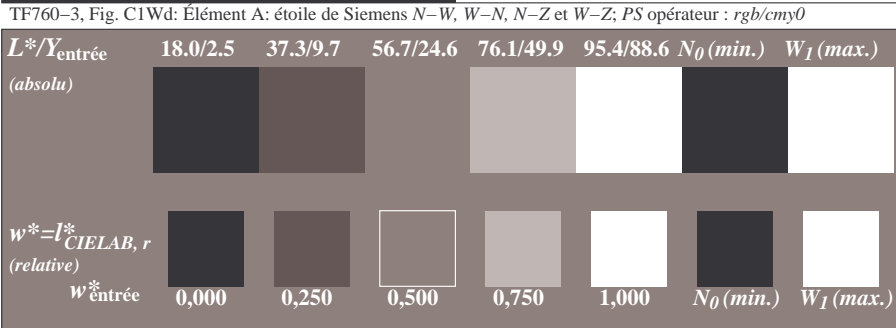
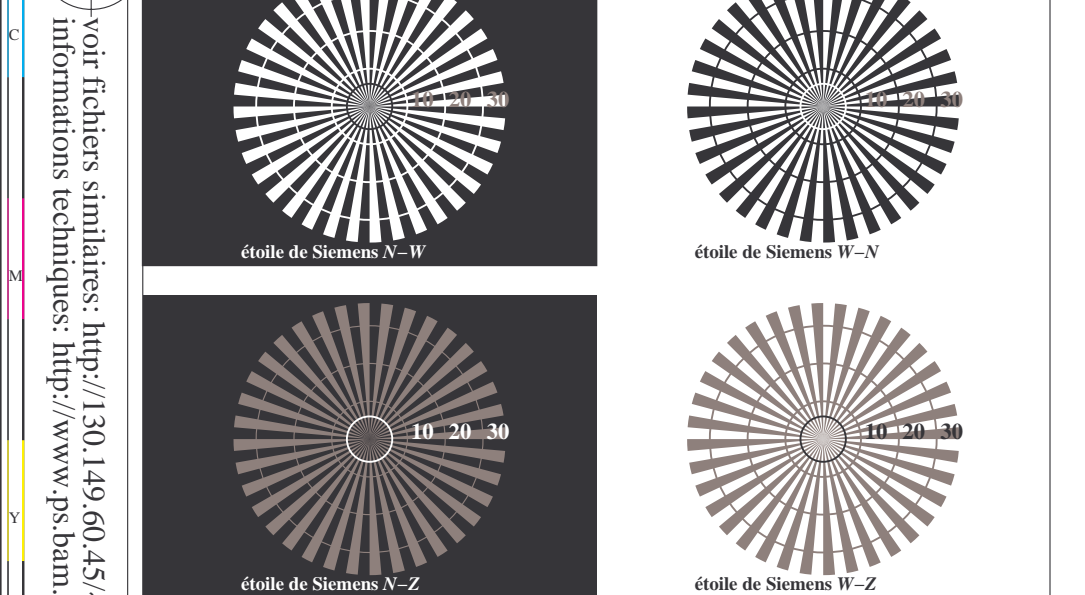
TF761-7, Fig. C14W-: Élément N: 16 paliers de gris  $L^*$  équidistante; PS opérateur : *rgb/cmy0*

largeur de trame in lpi

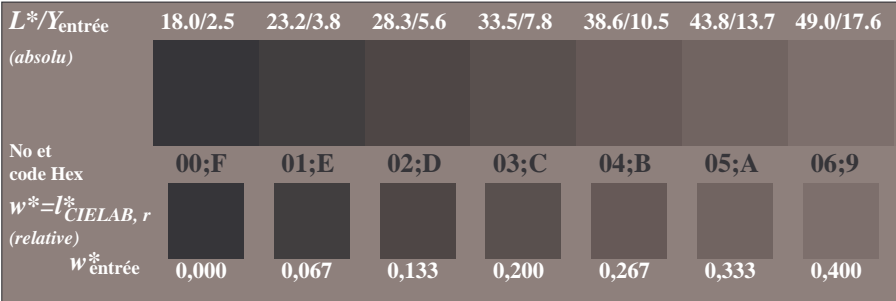
TF761-7, Fig. C15W-: Élément O: 16 paliers de gris  $L^*$  équidistante; PS opérateur : <i



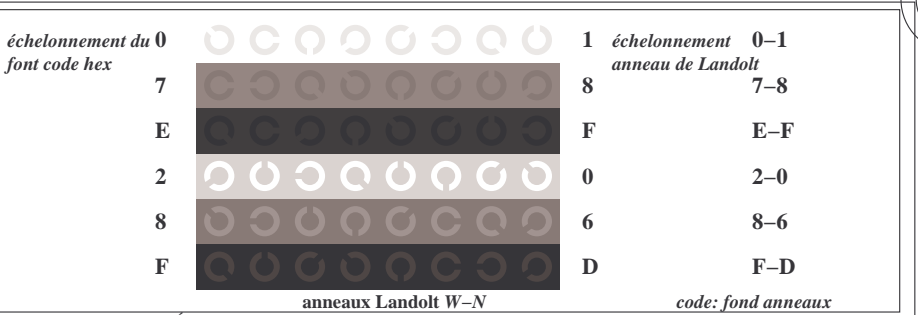
v http://130.149.60.45/~farbmefrik/TF76/TF76L0NA.TXT /.PS; sortie de transfert  
N: aucune linearisation 3D (OL) dans fichier (F) ou PS-startup (S), page 2/2



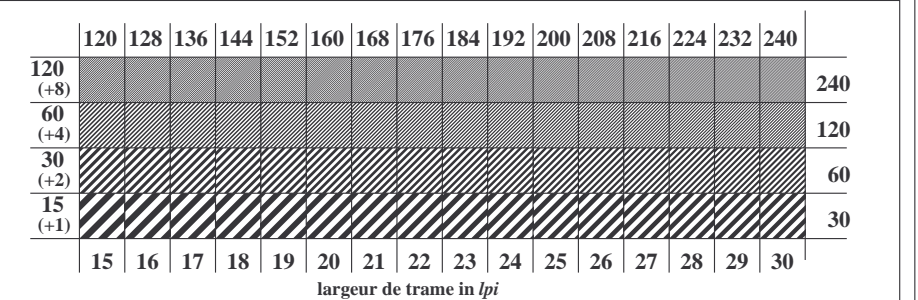
TF760-5, Fig. C2Wd: Élément B: 5 paliers de gris  $L^*$  équidistante +  $N_0 + W_I$ ; PS opérateur :  $rgb/cmy0$



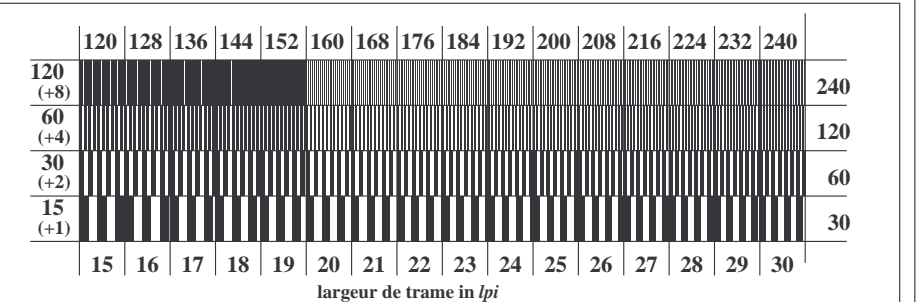
TF760-7, Fig. C3Wd: Élément C: 16 paliers de gris  $L^*$  équidistante; PS opérateur :  $rgb/cmy0$



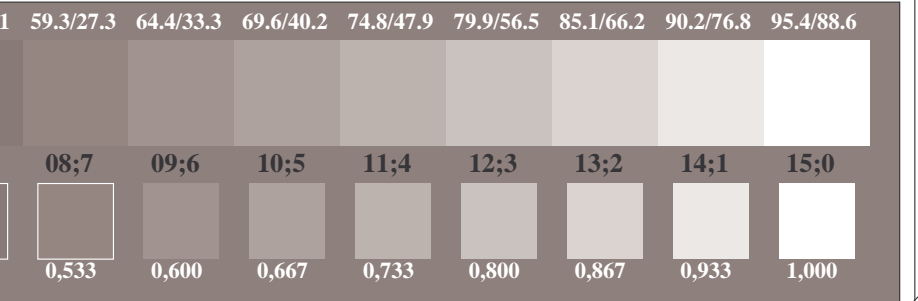
TF761-1, Fig. C4Wd: Élément D: anneaux Landolt W-N; PS opérateur :  $rgb/cmy0$



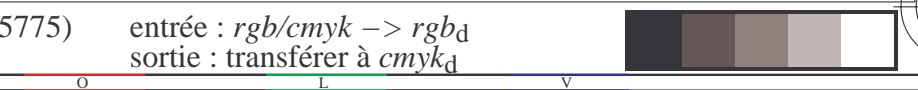
TF761-3, Fig. C5Wd: Élément E: trame linéaire à 45° (ou 135°); PS opérateur :  $rgb/cmy0$

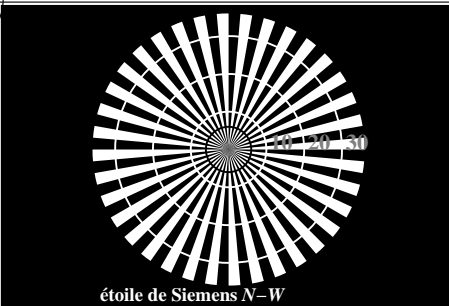


TF761-5, Fig. C6Wd: Élément F: trame linéaire à 90° (ou 0°); PS opérateur :  $rgb/cmy0$

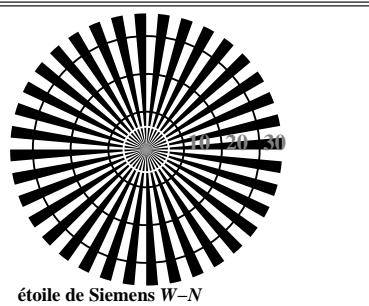


TF761-7, Fig. C7Wd: Élément G: 16 paliers de gris  $L^*$  équidistante; PS opérateur :  $rgb/cmy0$

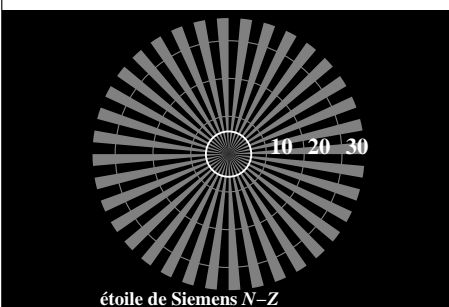




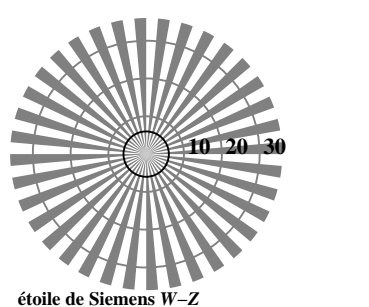
étoile de Siemens N-W



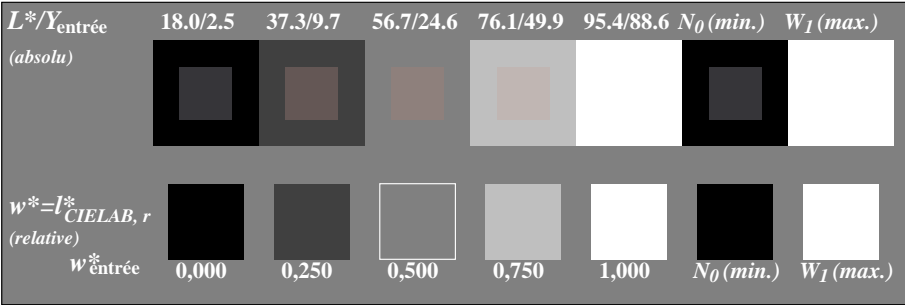
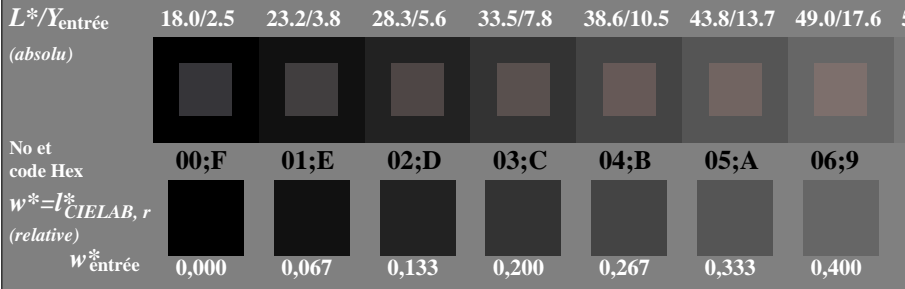
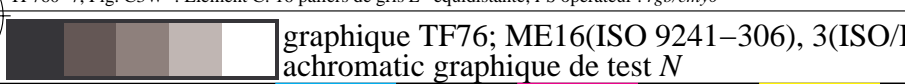
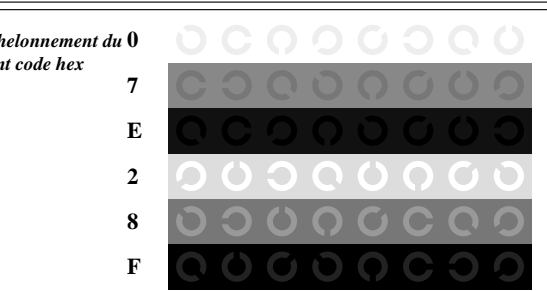
étoile de Siemens W-N



étoile de Siemens N-Z



étoile de Siemens W-Z

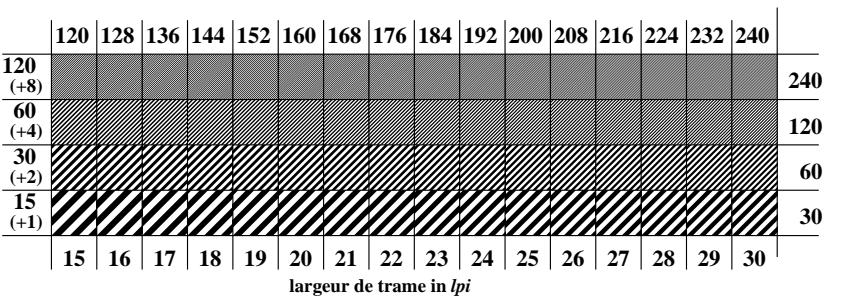
TF760-3, Fig. C1W-: Élément A: étoile de Siemens N-W, W-N, N-Z et W-Z; PS opérateur : *rgb/cmy0*TF760-5, Fig. C2W-: Élément B: 5 paliers de gris  $L^*$  équidistante +  $N_0 + W_I$ ; PS opérateur : *rgb/cmy0*TF760-7, Fig. C3W-: Élément C: 16 paliers de gris  $L^*$  équidistante; PS opérateur : *rgb/cmy0*graphique TF76; ME16(ISO 9241-306), 3(ISO/IEC 15775)  
achromatic graphique de test N

échelonnement du 0 font code hex

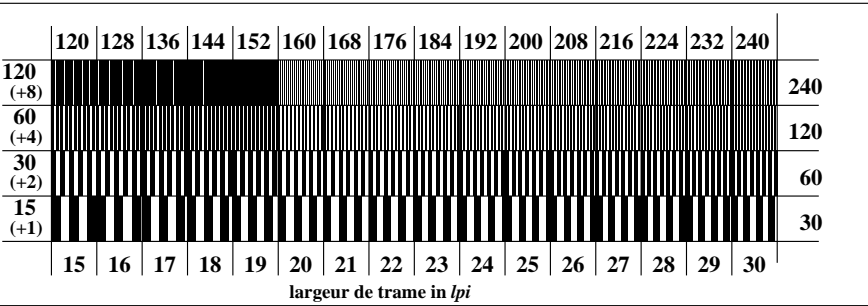
1	échelonnement 0-1 anneau de Landolt	0-1
8		7-8
E		E-F
2		0-2
8		6-8
F		F-D

anneaux Landolt W-N

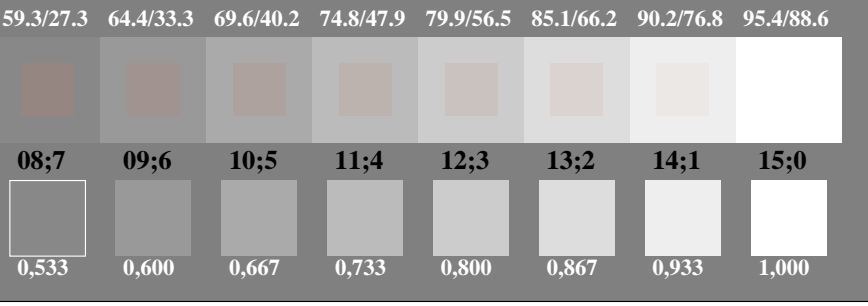
code: fond anneaux

TF761-1, Fig. C4W-: Élément D: anneaux Landolt W-N; PS opérateur : *rgb/cmy0*

largeur de trame in lpi

TF761-3, Fig. C5W-: Élément E: trame linéaire à 45° (ou 135°); PS opérateur : *rgb/cmy0*

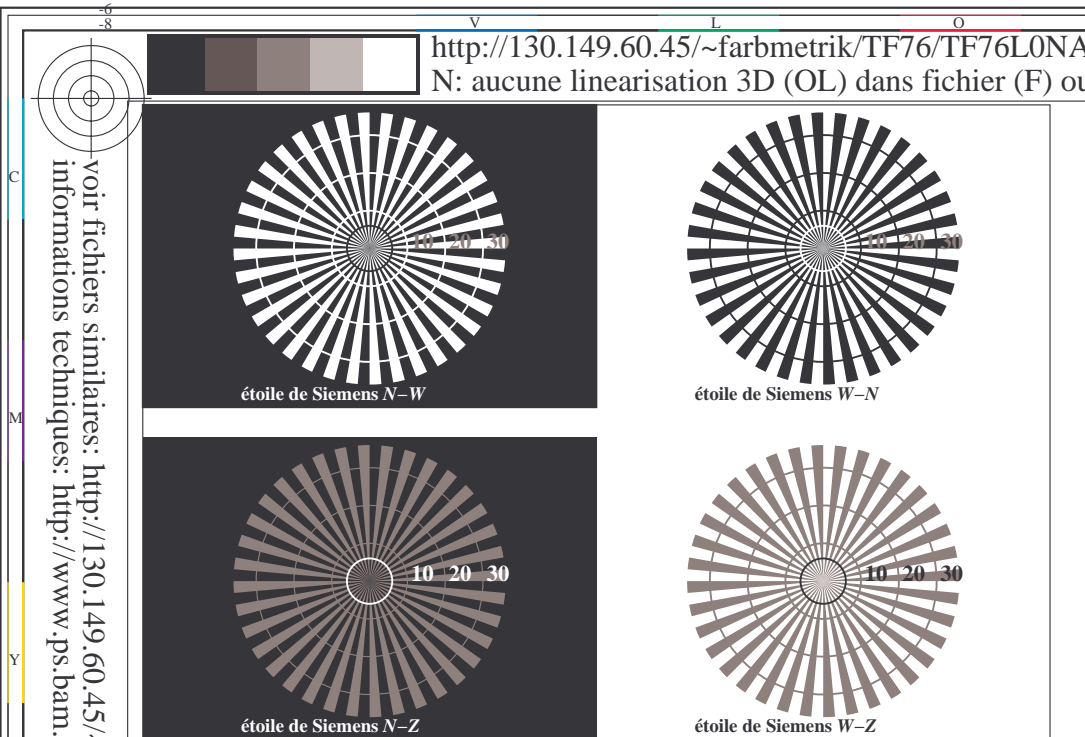
largeur de trame in lpi

TF761-5, Fig. C6W-: Élément F: trame linéaire à 90° (ou 0°); PS opérateur : *rgb/cmy0*

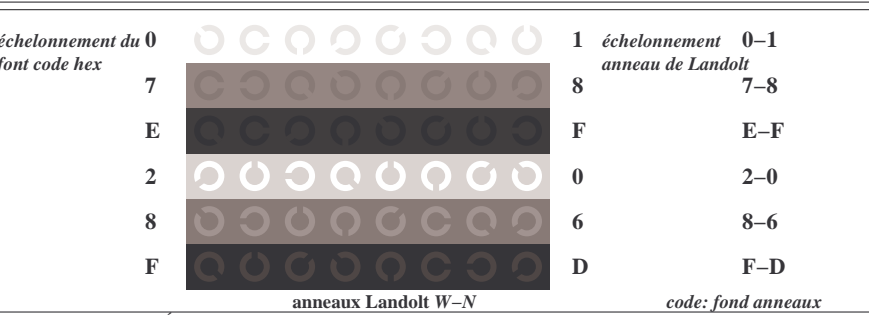
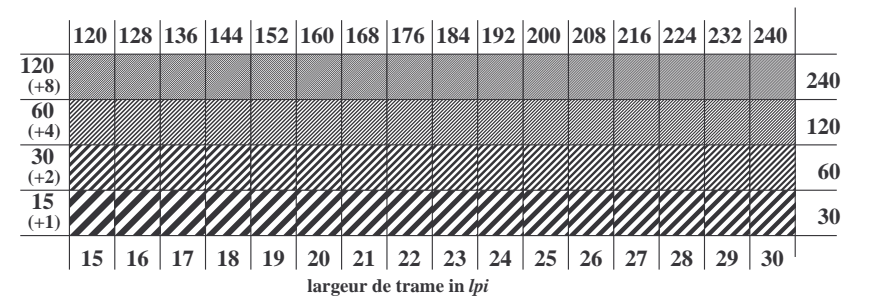
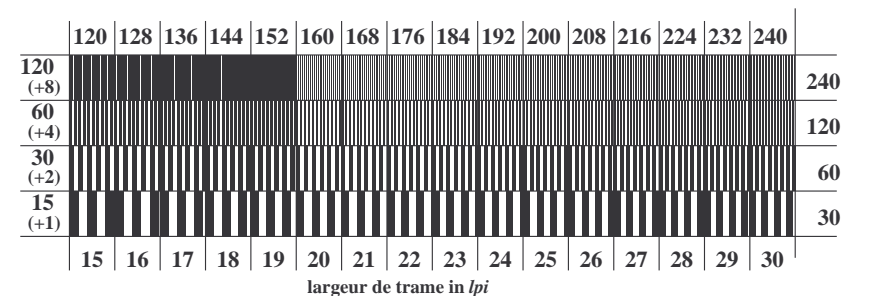
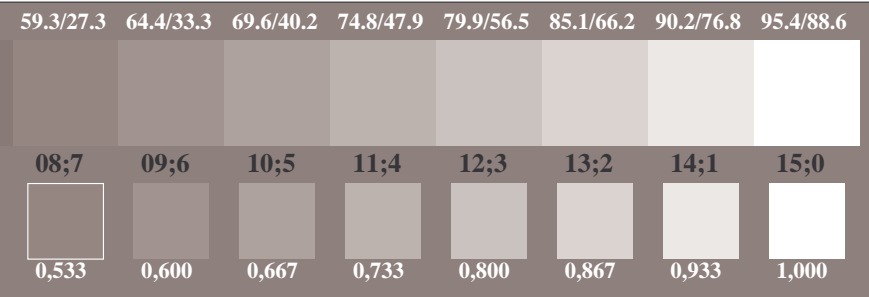
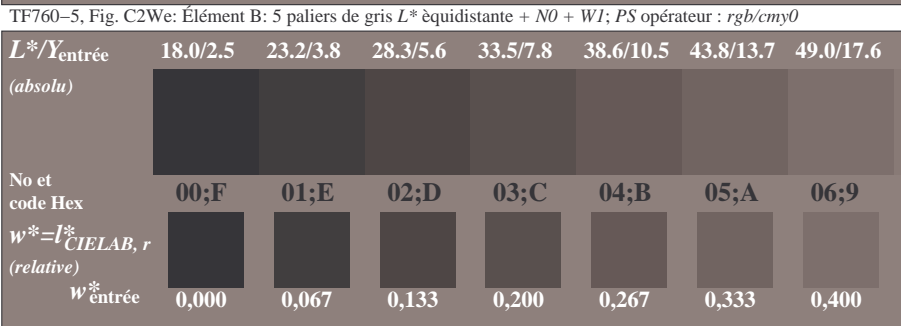
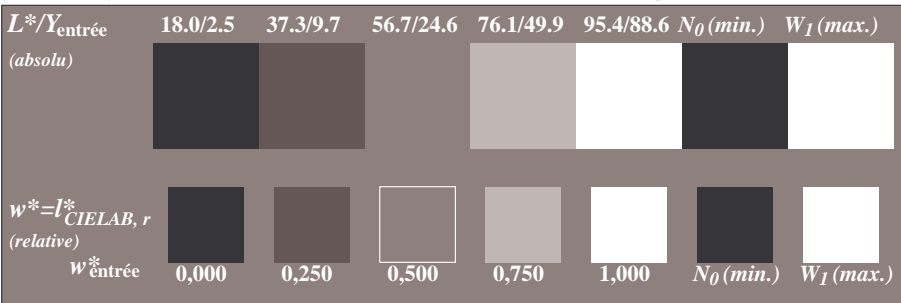
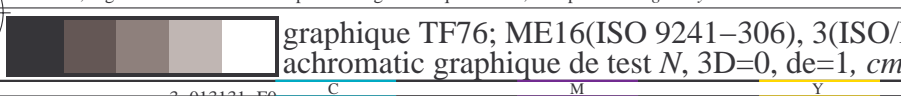
largeur de trame in lpi

TF761-5, Fig. C6W-: Élément F: trame linéaire à 90° (ou 0°); PS opérateur : *rgb/cmy0*

entrée : *rgb/cmyk* → *rgb/cmyk*  
 sortie : aucun changement



v http://130.149.60.45/~farbmefrik/TF76/TF76L0NA.TXT /.PS; sortie de transfert  
N: aucune linearisation 3D (OL) dans fichier (F) ou PS-startup (S), page 2/2

TF761-1, Fig. C4We: Élément D: anneaux Landolt W-N; PS opérateur : *rgb/cmy0*TF761-3, Fig. C5We: Élément E: trame linéaire à 45° (ou 135°); PS opérateur : *rgb/cmy0*TF761-5, Fig. C6We: Élément F: trame linéaire à 90° (ou 0°); PS opérateur : *rgb/cmy0*TF760-5, Fig. C2We: Élément B: 5 paliers de gris  $L^*$  équidistante +  $N_0$  +  $W_1$ ; PS opérateur : *rgb/cmy0*TF760-7, Fig. C3We: Élément C: 16 paliers de gris  $L^*$  équidistante; PS opérateur : *rgb/cmy0*

entrée : *rgb/cmyk* → *rgb<sub>e</sub>*  
sortie : transférer à *cmyke*